УДК 551.468

© $H.Е.Вольцингер^1$, $A.А.Андросов^{1,2}$, 2013

¹Санкт-Петербургский филиал Института океанологии им.П.П.Ширшова РАН

НЕГИДРОСТАТИЧЕСКОЕ БАРОТРОПНО-БАРОКЛИННОЕ ВЗАИМОДЕЙСТВИЕ В ПРОЛИВЕ С ГОРНЫМ РЕЛЬЕФОМ

Рассматривается негидростатическая краевая задача в трехмерной области, представляющей пролив с выраженным горным рельефом. Задача интегрируется в криволинейных гранично-согласованных координатах на неравномерной сетке. В численном методе используется расщепление по координатным направлениям при обращении трехмерного оператора Лапласа—Бельтрами на каждом шаге по времени с последующим определением бездивергентного поля скорости. Метод применяется для моделирования негидростатического баротропно-бароклинного взаимодействия в Баб-эль-Мандебском проливе Красного моря в зимний период его гидрологического цикла.

Ключевые слова: негидростатика, краевая задача, криволинейные координаты, пролив.

Теория длинноволновых движений основывается на том, что можно пренебречь влиянием вертикальной компоненты ускорения частиц жидкости на давление, т.е. давление в жидкости — гидростатическое. Допустимость закона гидростатики связана с величиной параметра $\varepsilon = H/L$, где H — характерная глубина, L — характерная длина; при малости ε закон гидростатики оказывается нулевым приближением при разложении трехмерных уравнений Эйлера по степеням ε^2 , а первое приближение дает двухмерные гидростатические уравнения — уравнения мелкой воды.

Эти хорошо известные положения справедливы в той мере, в какой характерные масштабы имеют бесспорный смысл. При выраженном изменении рельефа дна возникает ситуация, когда характерные масштабы утрачивают глобальный характер: глубина быстро изменяется, а длина набегающей длинной волны уменьшается. В такой ситуации гидростатическое приближение утрачивает свою высокую точность, и анализ динамики может потребовать использования более полных негидростатических уравнений.

Из рассмотрения уравнения движения по вертикали с масштабом горизонтальной скорости U и частотой плавучести $N = \left(-g\rho_z/\rho_0\right)^{1/2}$, где g — гравитационное ускорение, ρ — плотность, ρ_0 — ее отсчетное значение, следует, что вертикальным ускорением частиц жидкости можно пренебречь и давление будет гидростатическим, если

$$\frac{U^2}{I_c^2 N^2} << 1 \qquad \text{или} \quad \Gamma = \varepsilon^2 / Ri << 1, \tag{1}$$

где ${\rm Ri}=N^2H^2/U^2$ — число Ричардсона [1]. При $H=O(10^2~{\rm M}),~N\approx 10^{-4}~{\rm c}^{-1},~U\approx 0.5~{\rm m/c}$ критерий гидростатичности давления становится сомнительным уже на длинах волн около 1 км, что вполне отвечает ситуации на горном рельефе. Обоснованность отказа от гидростатики следует непосредственно из оценки вертикальной скорости в кинематическом краевом условии у подножия горы: $w\sim uh_x=u \log x$; уже при умеренном уклоне вер-

²Институт полярных и морских исследований им. Альфреда Вегнра, Бремерхафен, Германия voltzin@gk3103.spb.edu

тикальная скорость лишь на порядок уступает горизонтальной. В условиях баротропно-бароклинного взаимодействия критерий (1) должен локально нарушаться над подводной горой, когда стратификация размывается, и частота плавучести уменьшается.

Моделирование процессов и явлений на негидростатическом масштабе выполняется на основе численного решения краевых задач для уравнений вязкой несжимаемой жидкости — уравнений Навье—Стокса, имеющих обширную сферу приложений. В океанологии такие задачи характеризуются рядом особенностей, к которым следует отнести сложность геометрии реальной трехмерной области, выраженную стратификацию, наличие свободной поверхности и учет силы Кориолиса.

Негидростатическое моделирование круга явлений геофизической гидродинамики с горизонтальным масштабом от десятков метров до нескольких километров включает конвективные движения, короткие поверхностные волны, внутренние волны, бароклинную неустойчивость и др. [1-6]; сюда относится и рассмотрение гравитационных течений над наклонным дном [7-9]. Эти работы используют аналитические и численные 2-D-решения на декартовой горизонтальной сетке с σ – вертикальным разрешением для выявления особенностей процессов стекания относительно более тяжелой жидкости и перемешивания на идеализированном шельфовом склоне. Выполненная работа относится к этому направлению с акцентом на вычислительный аспект моделирования негидростатической динамики, трансформирующей граничный длинноволновый поток в области подводной горы. С этой целью ставится и численно интегрируется краевая задача для уравнений Навье–Стокса.

В следующем разделе рассматривается постановка негидростатической краевой задачи в произвольной трехмерной области. Уравнения движения и конституентов плотности приводятся в декартовых координатах, а затем краевая задача формулируется в криволинейных гранично-согласованных координатах, отображающих заданную область на параллелепипед. Далее рассматривается численный метод интегрирования преобразованной задачи, использующий разбиение градиента давления на гидростатическую и динамическую компоненты; метод имеет своим базисным элементом решение гидростатической задачи, подробно представленное в [10]. Структуру метода составляет нахождение на каждом временном шаге градиента динамического давления из решения уравнения Пуассона для оператора Лапласа-Бельтрами, после чего по градиентам динамического давления определяется негидростатический контравариантный вектор бездивергентного поля скорости. Моделируются негидростатическая динамика и гидрология Баб-эль-Мандебского пролива, морфометрическая структура которого содержит выраженные элементы горного рельефа. Решение реализуется на неравномерной криволинейной сетке при взаимодействии гидростатической задачи во всей области и негидростатической – в телескопизируемой подобласти Перимской узкости с подводной горой. Переход к интегрированию негидростатической задачи совершается сквозным счетом, не требующим процедуры сращивания. Результаты содержат оценки негидростатических эффектов в норме максимальной разности решений двух задач для полей скорости и плотности и выявляют роль негидростатики в формировании гидрологической структуры, определяемой граничным режимом пролива. Резюмируются положения и результаты работы.

Постановка задачи

Уравнения в декартовых координатах. Пусть невозмущенная поверхность воды совпадает с горизонтальной плоскостью X о Y правой декартовой системы координат, ось 0Z направлена вертикально вверх. В области $Q_T = Q \times \left[0, T^*\right]$, где Q — трехмерная область, ограниченная свободной поверхностью воды $\zeta(x, y; t)$, дном h(x, y) и боковой

поверхностью ∂Q , $Q = \{x, y, z; x, y \subset \Omega, -h \le z \le \zeta\}$, $0 \le t \le T^*$, рассмотрим уравнения движения, неразрывности, конституентов плотности и состояния морской воды:

$$\frac{d\mathbf{u}}{dt} + R\nabla p + 2\widetilde{\mathbf{\Omega}} \times \mathbf{u} = \mathbf{g} + \nabla_2 (K\nabla_2 \mathbf{u}) + (\mathbf{v}\mathbf{u}_z)_z, \tag{2}$$

$$div \mathbf{u} = 0, \tag{3}$$

$$\frac{d\Theta_i}{dt} = \frac{\partial}{\partial z} V_{\Theta_i} \frac{\partial \Theta_i}{\partial z} + \nabla \left(K_{\Theta_i} \nabla \Theta_i \right), \tag{4}$$

$$\rho(x, y, z; t) = \rho(\Theta_i), \tag{5}$$

где $d/dt = \partial/\partial t + \mathbf{u} \cdot \nabla$; $\mathbf{u} = (u, v, w)$ — вектор скорости; $\nabla = (\nabla_2, \partial/\partial z)$; $\nabla_2 = (\partial/\partial x, \partial/\partial y)$ — горизонтальный оператор градиента; R — диагональная матрица с элементами $\left(\frac{1}{\rho_0}, \frac{1}{\rho_0}, \frac{1}{\rho}\right)$; ρ — плотность; ρ_0 — ее отсчетное значение; p — давление; $\mathbf{g} = (0, 0, -g)$ — вектор гравитационного ускорения. Для составляющих силы Кориолиса примем: $2\tilde{\Omega} \times \mathbf{u} = (f_\Gamma w - f v, f u, -f_\Gamma u), f_\Gamma = 2\tilde{\Omega} \cos \phi$ — ее горизонтальная компонента, $f = 2\Omega \sin \phi$ — вертикальная компонента, $\tilde{\Omega}$ — вектор угловой скорости вращения Земли, ϕ — широта места; K, v — коэффициенты горизонтальной и вертикальной турбулентной вязкости, $K_{\Theta_i}, v_{\Theta_i}$ — коэффициенты турбулентной диффузии, i = 1, 2; Θ_1 — температура, Θ_2 — соленость.

К системе уравнений (2)–(5) относительно неизвестных \mathbf{u} , p, ρ , Θ_i следует присоединить турбулентное замыкание для нахождения коэффициентов v, v_{Θ_i} , K, K_{Θ_i} и уравнения для определения уровня ζ . Эта компонента решения определяется из вертикально-осредненных уравнений горизонтального движения и уравнения неразрывности.

Редукция уравнения движения по вертикали в (2) к виду

$$\frac{\partial p}{\partial z} = -g\rho \tag{6}$$

определяет гидростатическое давление p_{Γ} . Полагая $\rho = \rho_0 + \rho'$, $\rho' << \rho_0$ и интегрируя (6) по вертикали, имеем:

$$p\big|_{z=\zeta} - p_{\Gamma} = -g\rho_0(\zeta - z) - g\int_{z}^{\zeta} \rho' dz.$$
 (7)

Примем давление на уровне моря $\left. p \right|_{\zeta} = \mathrm{const}$. Из (7) следует, что градиент гидростатического давления является суммой своих баротропного и бароклинного градиентов:

$$\nabla_2 p_{\Gamma} = g \rho_0 \nabla_2 \zeta + g \nabla_2 \int_z^{\zeta} \rho' dz \,. \tag{8}$$

В уравнении движения по вертикали системы (2) преобразуем комбинацию $\gamma = \frac{1}{\rho} \, p_z + g \; . \; \text{C точностью} \; \mathit{O}\!\left(\rho'^2\right) \, \text{имеем:}$

$$\frac{1}{\rho} p_z = \frac{1}{\rho_0} (1 - \rho'/\rho_0) p_z = \frac{1}{\rho_0} p_z + g \rho'/\rho_0; \quad \gamma = \frac{1}{\rho_0} p_z + g \rho/\rho_0.$$

Примем: $p = p_{\Gamma} + p_{D}$, p_{D} – динамическое давление. С учетом (6) получим:

$$\gamma = \frac{1}{\rho_0} \frac{\partial}{\partial z} (p_\Gamma + p_D) - \frac{1}{\rho_0} \frac{\partial}{\partial z} p_\Gamma = \frac{1}{\rho_0} \frac{\partial p_D}{\partial z}.$$

Запишем уравнение движения (2) в виде

$$\frac{\partial}{\partial t}\mathbf{u} + R\nabla\mathbf{\Pi} = \underline{\mathbf{\phi}},\tag{9}$$

где $\mathbf{\Pi} = (p, p, p_D), \ \phi = -(\mathbf{u} \cdot \nabla)\mathbf{u} - 2\widetilde{\Omega} \times \mathbf{u} + \nabla_2(K\nabla_2\mathbf{u}) + (\mathbf{v}\mathbf{u}_z)_z$.

Краевая задача в криволинейных координатах. Преобразуем уравнения к криволинейным координатам

$$\xi = \xi(x, y), \quad \eta = \eta(x, y), \quad \sigma = H^{-1}(z - \zeta), \quad t' = t,$$
 (10)

где $H=h+\zeta$ с якобианом преобразования $J^{-1}=\partial(\xi,\eta,\sigma)/\partial(x,y,z),\ 0\neq J^{-1}<\infty$, $J=J_*H$, $J_*=\partial(x,y)/\partial(\xi,\eta)$ — плоский якобиан. При соответствующем выборе четырех попарно противоположных участков боковой поверхности область Q отобразится на параллелепипед Q^* . Пусть физическая область Q представляет пролив с береговыми непроницаемыми границами ∂Q_1 , отображаемыми на непроницаемые грани параллелепипеда ∂Q_1^* и с открытыми границами ∂Q , отображаемыми на его открытые грани ∂Q_2^* ; нижней и верхней горизонтальными гранями параллелепипеда Q^* будут прямоугольники Ω^* в плоскостях $\sigma=-1$ и $\sigma=0$ соответственно.

Метод решения негидростатической задачи, представленный ниже, существенно опирается на решение гидростатической задачи, когда градиент давления имеет вид (8); в криволинейных координатах:

$$\nabla_2 p_{\Gamma} = g \rho_0 \nabla_2 \zeta + g \nabla_2 I , \qquad I = H \int_{\sigma}^{0} \rho' d\sigma . \tag{11}$$

Ниже приводится форма уравнений и дополнительных условий в координатах (10); подробный вывод преобразования задачи содержится в [10].

Уравнение (9) в гранично-согласованных координатах (10) примет следующий вид:

$$\frac{\partial}{\partial t} \mathbf{u} + R \nabla \mathbf{\Pi} = \underline{\phi}$$

$$\underline{\phi} = (\phi_{u}, \phi_{v}, \phi_{w}) = -U^{i} \frac{\partial \mathbf{u}}{\partial \xi^{i}} - W \frac{\partial \mathbf{u}}{\partial \sigma} - 2\widetilde{\Omega} \times \mathbf{u} + H^{-2} (v \mathbf{u}_{\sigma})_{\sigma} + J_{*}^{-1} (K J_{*} g^{ik} \mathbf{u}_{\xi^{k}})_{\xi^{i}}.$$
(12)

Здесь $U^i = \mathbf{v} \nabla \xi^i$ — контравариантные горизонтальные скорости, $\nabla \xi^i = \mathbf{e}^i = \left(\xi_x^i, \xi_y^i\right)$ — контравариантный базисный вектор; i, k = 1, 2 при суммировании по повторяющемуся индексу; $U^1 = U$, $U^2 = V$, $\xi^1 = \xi$, $\xi^2 = \eta$; $W = \sigma_t + \mathbf{v} \nabla_2 \sigma + w \sigma_z$ — контравариантная вертикальная скорость; $\nabla_2 = \mathbf{e}^i \, \partial / \partial \xi^i$, $g^{ik} = \mathbf{e}^i \mathbf{e}^k$ — компоненты метрического тензора.

Уравнение неразрывности:

$$\frac{\partial J}{\partial t} + \frac{\partial}{\partial \xi^{i}} J U^{i} + \frac{\partial}{\partial \sigma} J W = 0$$
 (13)

или

$$\frac{\partial}{\partial \xi^{i}} J U^{i} + \frac{\partial}{\partial \sigma} J \hat{W} = 0, \qquad (13')$$

где $\hat{W} = W - \sigma_{_t}$. Гидростатические уравнения горизонтального движения:

$$\frac{\partial \mathbf{v}}{\partial t} + \frac{1}{\rho_0} \nabla_2 p_{\Gamma} = \underline{\phi}_{\mathbf{v}}. \tag{14}$$

Здесь $\phi_{\mathbf{v}} = (\phi_u, \phi_v)$. Уравнение для конституентов плотности Θ :

$$\frac{\partial \Theta}{\partial t} + U^{i} \frac{\partial}{\partial \xi^{i}} \Theta + W \frac{\partial}{\partial \sigma} \Theta = \hat{D}(\Theta). \tag{15}$$

Для оператора диффузии примем упрощенное представление:

$$\hat{D} = K_{\Theta} J_{*}^{-1} \left[\frac{\partial}{\partial \xi} \left(J_{*} g^{11} \frac{\partial}{\partial \xi} \right) + \frac{\partial}{\partial \eta} \left(J_{*} g^{22} \frac{\partial}{\partial \eta} \right) \right] + \frac{\partial}{\partial \sigma} \left(v_{\Theta} g^{33} \frac{\partial}{\partial \sigma} \right). \tag{15'}$$

К динамической задаче (12), (13) присоединяются вертикально-осредненные уравнения для определения уровня. Замыкание для нахождения ν , ν_{Θ} использует уравнение кинетической энергии турбулентности, соотношения подобия и выражение для масштаба турбулентности, [10].

Граничные и начальные условия. Пусть непроницаемые боковые грани ∂Q_1^* параллелепипеда Q^* лежат в плоскостях $\xi = {\rm const}$, а его открытые грани ∂Q_2^* — в плоскостях $\eta = {\rm const}$. Тогда

$$U\big|_{\partial Q_1^*} = 0. \tag{16}$$

На открытых границах ∂Q_2^* на вытоке используется линейная экстраполяция характеристической переменной – контравариантной компоненты скорости V – либо ее производной по нормали к плоскости $\eta = \mathrm{const}$:

$$\left. \frac{\partial V}{\partial n} \right|_{\partial \mathcal{Q}_2^*} = \frac{1}{\sqrt{g^{22}}} g^{2j} V_{\xi^j}, \tag{17}$$

j = 1, 2, 3. На втоке должна задаваться необходимая информация о входящих в область компонентах решения

$$U|_{\partial Q_2^*} = \psi_1(\xi, \sigma; t), \qquad V|_{\partial Q_2^*} = \psi_2(\xi, \sigma; t)$$
(18)

и при удержании горизонтальной вязкости ее производная по нормали $K \partial V/\partial n$. Граничными условиями по вертикали являются: условие прилипания у дна на высоте параметра шероховатости ε^* и динамическое условие на касательное напряжение τ/ρ_0 :

$$U^{i}\Big|_{\sigma=-1+\varepsilon^{*}}=0, \qquad \nu U_{\sigma}^{i}\Big|_{\bar{\sigma}=0}=H\nabla\xi^{i} \frac{\tau}{\rho_{0}}. \tag{19}$$

Вертикальная компонента W удовлетворяет условиям $W|_{-1} = W|_{0} = 0$.

Для уравнений температуры и солености $\Theta = (T,S)$ (15) на твердой границе принимается

$$g^{1j}\Theta_{\xi^j}\Big|_{\partial Q_1^*} = 0. \tag{20}$$

Условие на открытой границе на вытоке задается линейной экстраполяцией из области

$$g^{2j}\Theta_{\xi^j}\Big|_{\partial Q_2^*} = 0, \tag{21}$$

а на втоке - характеристикой входящей водной массы

$$\Theta|_{\partial O_s^*} = \Psi_3(\xi, \sigma; t). \tag{22}$$

Граничным условием на дне, согласованным с оператором Лапласа—Бельтрами, будет условие по конормали

$$\left. \frac{\partial \Theta}{\partial n} \right|_{\sigma=-1} = K_{\Theta} g^{3i} \Theta_{\xi^{i}} + \nu_{\Theta} g^{33} \Theta_{\sigma}. \tag{23}$$

На поверхности для $\Theta_1 = T$ задаются радиационные потоки тепла, а для $\Theta_2 = S$ — соотношение между осадками и испарением.

Начальными условиями являются бездивергентный вектор скорости $\mathbf{u}\big|_{t=0} = \mathbf{u}^0$ и значения конституентов $\left.\Theta_i\right|_{t=0} = \Theta_i^0$.

Уравнения энергии. Умножим уравнение (9) на $\rho_0 J \mathbf{u}$, уравнение неразрывности в форме (13) на $\rho_0 \left(g \zeta + \left| \mathbf{u} \right|^2 / 2 \right)$ и в форме (13') — на $gI + p_D$; при сложении результата имеем

$$e_t + [(A+B)JU]_{\xi} + [(A+B)JV]_{\eta} + [J(AW+B\hat{W})]_{\sigma} + \chi = D,$$
 (24)

где $e=\frac{1}{2}\rho_0 J_*\Big(\!H |\mathbf{u}|^2+g\zeta^2\Big)$ — полная энергия; $A=\rho_0\!\left(\frac{1}{2}|\mathbf{u}|^2+g\zeta\right)$ — адвекция кинетической и потенциальной энергии через границу области; $B=gI+p_D$ — адвекция сил плавучести и работа динамического давления на границе области; $\chi=Jgw\rho'$ — работа сил плавучести внутри области и $D=\rho_0 H\mathbf{u}\!\left(\frac{\partial}{\partial \xi^i} KJ_*g^{ik}\,\frac{\partial \mathbf{u}}{\partial \xi^k} + J_*H^{-2}\,\frac{\partial}{\partial \sigma}\,\mathbf{v}\,\frac{\partial \mathbf{u}}{\partial \sigma}\right).$

Интегрирование уравнения (24) по области Q^* при использовании формулы Гаусса и граничных условий $U|_{\widehat{c}Q_1^*}=0$, $W|_{\sigma=-1}=W|_{\sigma=0}=0$, $\hat{W}|_{\sigma=-1}=0$, $I|_{\sigma=0}=0$, $p_D|_{\sigma=0}=0$ дает

$$E_{t} + \int_{\partial Q_{s}^{*}} (A+B)JV d\xi d\eta + \int_{Q_{s}^{*}} gw \rho' J dQ^{*} = D_{1} + D_{2} + D_{3} .$$
 (25)

3десь $E = \int_{\mathcal{Q}^*} edQ^*$ — интегральная энергия, второй член — сумма интегральных потоков

кинетической энергии, потенциальной энергии, сил плавучести и динамического давления через открытую границу, третий член – интегральная работа сил плавучести;

$$\begin{split} D_1 &= -\rho_0 \int_{\mathcal{Q}^*} K g^{ik} \, \frac{\partial H \mathbf{u}}{\partial \xi^i} \, \frac{\partial \mathbf{u}}{\partial \xi^k} + H^{-1} \mathbf{v} \bigg(\frac{\partial \mathbf{u}}{\partial \sigma} \bigg)^2 J_* d\mathcal{Q}^* \quad - \quad \text{интегральная} \quad \text{диссипация} \quad \text{энергии}; \\ D_2 &= \int_{\mathcal{S}^\zeta} \mathbf{u} \cdot \mathbf{\tau}^\zeta J_* d\xi d\eta - \int_{\mathcal{S}^h} \mathbf{u} \cdot \mathbf{\tau}_h J_* d\xi d\eta \quad - \quad \text{разность интегральной работы касательных напряжений} \\ \mathbf{\tau} &= \rho_0 H^{-1} \mathbf{v} \frac{\partial \mathbf{u}}{\partial \sigma} \quad \text{на} \quad \text{свободной} \quad \text{поверхности} \quad \mathcal{S}^\zeta \quad \text{и} \quad \text{на} \quad \text{дне} \quad \mathcal{S}^h; \\ D_3 &= \frac{1}{2} \rho_0 \int_{\partial \mathcal{Q}_2^*} H K \bigg(g^{12} \frac{\partial}{\partial \xi} |\mathbf{u}|^2 + g^{22} \frac{\partial}{\partial \eta} |\mathbf{u}|^2 \bigg) J_* d\xi d\eta \quad - \quad \text{вязкий интегральный поток энергии через открытую границу.} \end{split}$$

Метод решения негидростатической задачи. Присоединим к гидростатическим уравнениям (14) уравнение

$$\widetilde{w}_t = \varphi_w. \tag{27}$$

Пусть на временном шаге $(k+1)\tau$, k=0,1,..., $\overline{k}=\left[\widetilde{T}/\tau\right]$ известно решение задачи (14), (27) для $\mathbf{u}_{\Gamma}=\left(u,v,\widetilde{w}\right)$, которое будем рассматривать как предиктор разностного уравнения (12):

$$\mathbf{u}_{\Gamma}^{k+1} = \mathbf{u}^*, \tag{28}$$

определяемый из уравнений

$$\frac{\left(\mathbf{v}^* - \mathbf{v}^k\right)}{\tau} + \frac{1}{\rho_0} \nabla_2 p_{\Gamma}^* = \underline{\phi}_{\mathbf{v}}^*,$$

$$\frac{\left(\mathbf{w}^* - \mathbf{w}^k\right)}{\tau} = \varphi_{\mathbf{w}}^*.$$
(29)

Для реализации гидростатической краевой задачи — первого из уравнений (29), уравнения неразрывности (13) и уравнений (4), (5) с граничными условиями (16)–(23) — используется расщепление операторов по координатным направлениям со вторым порядком точности и величиной шага по времени, навязываемым только адвективной модой, с присоединенной процедурой, контролирующей поведение решения в области его резких градиентов и многосеточной процедурой ускорения сходимости [10]. Алгоритм решения негидростатической задачи, рассматриваемый ниже, опирается на гидростатический модуль и является одной из модификаций широко используемого проекционного метода решения уравнений Навье—Стокса.

Вычитая уравнения (29) из аппроксимации уравнения (12):

$$\frac{\left(\mathbf{v}^{k+1} - \mathbf{v}^{k}\right)}{\tau} + \frac{1}{\rho_{0}} \nabla_{2} \left(p_{\Gamma}^{*} + p_{D}^{k+1}\right) = \underline{\phi}_{\mathbf{v}}^{*},$$

$$\frac{\left(w^{k+1} - w^{k}\right)}{\tau} + \frac{1}{\rho_{0}} \frac{\partial}{\partial \sigma} p_{D}^{k+1} = \phi_{w}^{*},$$

имеем

$$\frac{\left(\mathbf{u}^{k+1} - \mathbf{u}^*\right)}{\tau} + \frac{1}{\rho_0} \nabla p_D^{k+1} = 0,$$
(30)

или в проекциях при временном обозначении $p_D/\rho_0 = p$

$$\frac{\left(u^{k+1} - u^*\right)}{\tau} + p_{\xi^i}^{k+1} \xi_x^i + p_{\sigma}^{k+1} \sigma_x = 0,$$

$$\frac{\left(v^{k+1} - v^*\right)}{\tau} + p_{\xi^i}^{k+1} \xi_y^i + p_{\sigma}^{k+1} \sigma_y = 0,$$

$$\frac{\left(w^{k+1} - w^*\right)}{\tau} + p_{\sigma}^{k+1} \sigma_z = 0.$$

Умножим первое из этих уравнений на ξ_x , второе — на ξ_y и сложим их; затем сложим первое уравнение, умноженное на η_x со вторым, умноженным на η_y ; наконец, сложим первое уравнение, умноженное на σ_x , второе, умноженное на σ_y , и третье — на σ_z . Имеем:

$$\frac{\left(U^{k+1} - U^{*}\right)}{\tau} + g^{1j} p_{\xi^{j}}^{k+1} + g^{13} p_{\sigma}^{k+1} = 0,$$

$$\frac{\left(V^{k+1} - V^{*}\right)}{\tau} + g^{2j} p_{\xi^{j}}^{k+1} + g^{23} p_{\sigma}^{k+1} = 0,$$

$$\frac{\left(\hat{W}^{k+1} - \hat{W}^{*}\right)}{\tau} + g^{3j} p_{\xi^{j}}^{k+1} + g^{33} p_{\sigma}^{k+1} = 0.$$
(31)

Умножая каждое из этих уравнений на J и дифференцируя первое по ξ , второе – по η , третье – по σ , складывая их, получим

$$\left(J g^{ij} p_{\xi^i}^{k+1} \right)_{\xi^j} = \left[\left(J U^* \right)_{\xi} + \left(J V^* \right)_{\eta} + \left(J \hat{W}^* \right)_{\sigma} \right] / \tau ,$$
 (32)

где учтено, что в криволинейных координатах, согласно (13'), $\operatorname{div} \mathbf{u}^{k+1} = 0$.

Уравнение Пуассона для оператора Лапласа—Бельтрами (32) решается итерационно, в сочетании на каждом цикле итераций прогонку по вертикали с верхней релаксацией в плоскости (ξ, η) , при граничных условиях по вертикали:

$$\left. \frac{\partial p}{\partial n} \right|_{\sigma = -1} = 0, \qquad p \Big|_{\sigma = 0} = 0; \tag{33}$$

на боковых непроницаемых гранях параллелепипеда Q^*

$$\left. \frac{\partial p}{\partial n} \right|_{\partial Q_1^*} = 0 \,; \tag{34}$$

на открытых его гранях

$$\left. \frac{\partial p}{\partial n} \right|_{\partial Q_2^*} = \psi(\xi, \sigma, t), \tag{35}$$

где, согласно (31), $\psi^{k+1} = -\left(V^{k+1} - V^*\right)/\tau\sqrt{g^{22}}$ назначается в итерационном процессе на каждом цикле с предыдущей итерации s:

$$\psi^{k+1,s} = -(V^{k+1,s} - V^*)/\tau\sqrt{g^{22}}, \qquad s = 1,2,3...$$

Решением задачи (32)–(35) определяется динамическое давление, по градиенту которого из (31) находится негидростатический вектор скорости $\mathbf{U}^{k+1} = \left(U, V, \hat{W}\right)^{k+1}$, а затем

и декартова скорость \mathbf{u}^{k+1} из соотношений $u = J_* (U\eta_y - V\xi_y)$, $v = J_* (V\xi_x - U\eta_x)$, $w = H(\hat{W} - u\sigma_x - v\sigma_y)$; уровень ζ находится решением гидростатической краевой задачи для вертикально-осредненных уравнений (13), (14).

Негидростатическая динамика Баб-эль-Мандебского пролива. Баб-эль-Мандебский пролив, расположенный в южной части Красного моря, осуществляет водообмен между Красным морем и Аденским заливом Аравийского моря (рис.1). Длина пролива около 150 км, глубина в средней части около 300 м, площадь поперечного сечения в самой узкой части у о.Перим около 3 км². К северу пролив расширяется до 40 км; здесь у о.Хениш находится порог, препятствующий свободному водообмену через пролив. Наименьшая глубина пороговой зоны 137 м, ширина в сечении порога около 110 км. Наличие глубокого желоба шириной около 6 км в узком проливе определяет его крутую шельфовую структуру с глубинами менее 50 м.

Сложная картина физических процессов в проливе определяется взаимодействием баротропного прилива с плотностными течениями. Амплитуда колебаний уровня уменьшается от \sim 2 м на границе с заливом до \sim 1 м у Хенишского порога. Бароклинные течения обязаны разности плотностей вод граничных бассейнов, соленость которых отличается на 2 ‰, и совместно с муссонными течениями определяют гидрологическую структуру пролива: зимой режим течений имеет двухслойную структуру, летом — трехслойную.

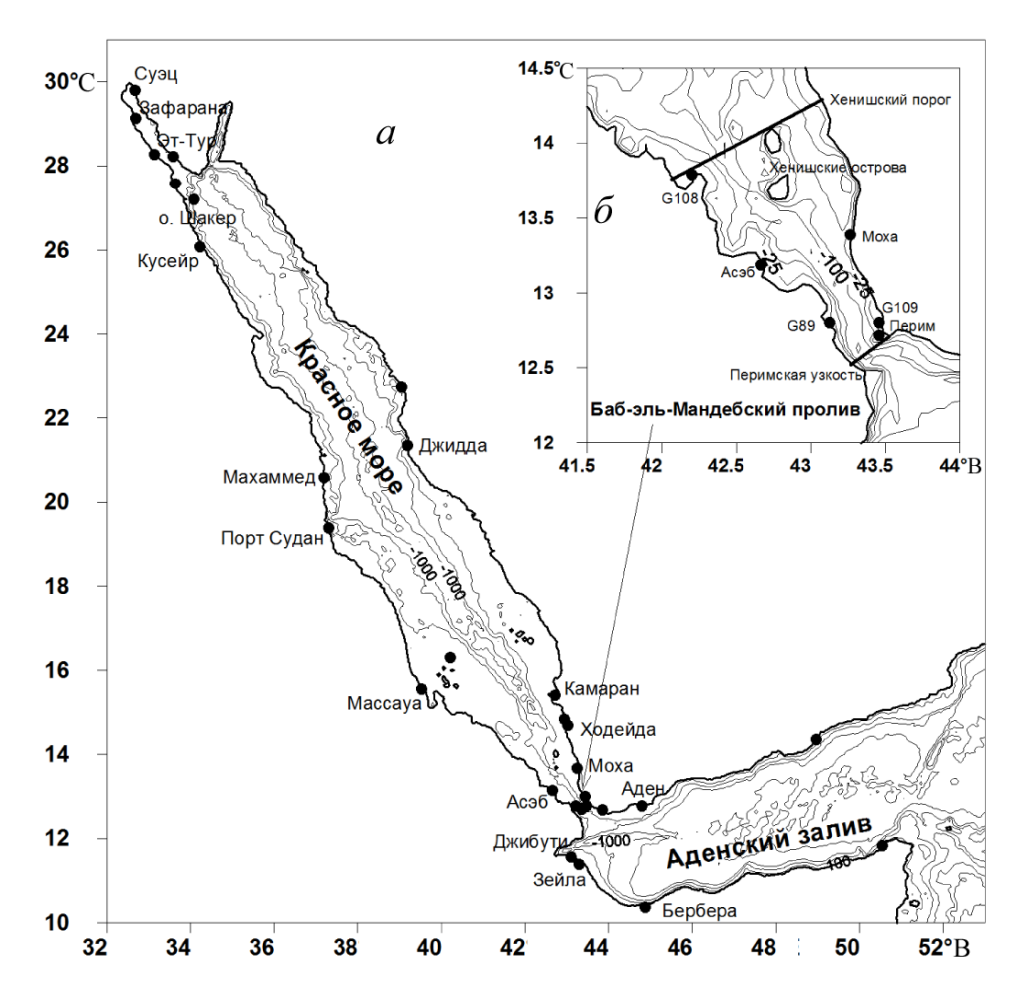


Рис.1. Карта Красного моря, расположение станций наблюдения (a) и карта Баб-эль-Мандебского пролива (δ).

Результаты моделирования внутреннего прилива и энергетических характеристик баротропно-бароклинного взаимодействия в Баб-эль-Мандебском проливе представлены в [11, 12], содержащих и библиографию по предмету.

Вычислительные параметры и оценка точности решения негидрости задачи. Для проверки сходимости численных решений краевая задача интегрировалась на сетке с горизонтальным разрешением 33×53 и 40 узлами по вертикали, а также на вдвое измельченной в продольном направлении сетке $33 \times 103 \times 40$ с шагами $\Delta_{\min} = 110\,\mathrm{M}$, $\Delta_{\max} = 3500\,\mathrm{M}$ (рис.2); шаг по времени $\tau = 90\,\mathrm{c}$. Краевые условия на открытых границах для вектора суммарной — баротропной и бароклинной — скорости ставились исходя из решения в расширенной области, включающей Красное море и прилегающую часть Аденского залива. На свободной поверхности задавались потоки тепла и касательные напряжения ветра. Расчеты выполнялись на период зимнего сезона.

Результаты обнаруживают заметное отличие двух сеточных решений и преимущество использования детализированной сетки. Характер сходимости решения 3-D эллиптического уравнения, требующего наибольших вычислительных затрат, показан на рис.3.

Результаты. Сравнение численных решений с данными наблюдений свидетельствует о допустимости в целом гидростатического описания динамики пролива [11–13]. Вместе с тем, как видно из рис.4, 5, в отдельные интервалы времени и локально критерий гидростатики (1) резко нарушается.

Сравнение решений двух задач удобно представить в максимальной норме C: $\|\delta(\chi)\|_C = \max_S |\delta\chi|$, где $\delta\chi = \chi_{\rm H\Gamma} - \chi_{\Gamma}$ — разность значений характеристики χ в негидростатической и гидростатической постановках, S — число узлов сеточной области.

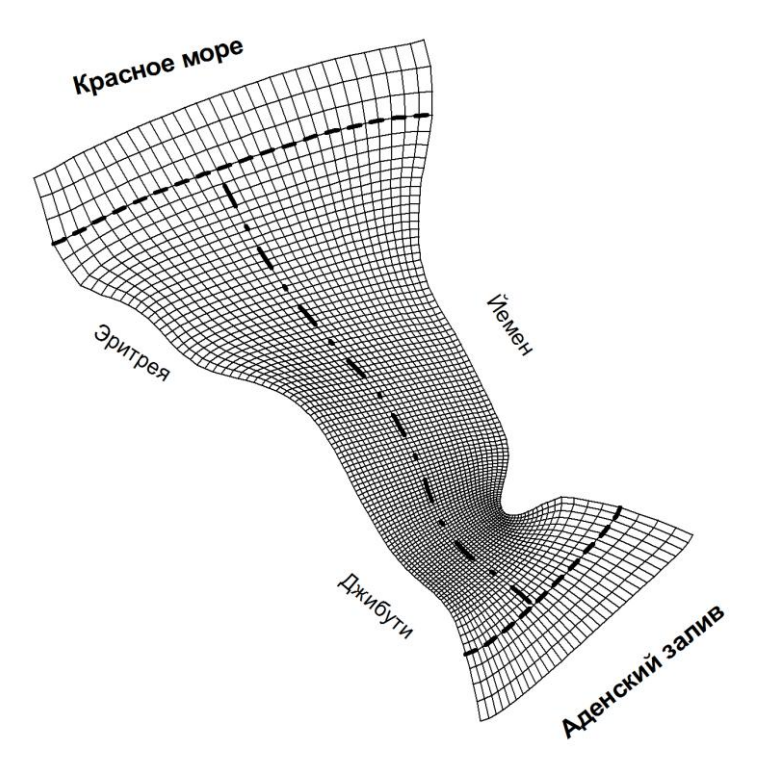


Рис.2. Горизонтальное сечение сеточной области (33×103) Баб-эль-Мандебского пролива.

Штриховая линия – область расчета негидростатической задачи, штрихпунктирная – осевой разрез.

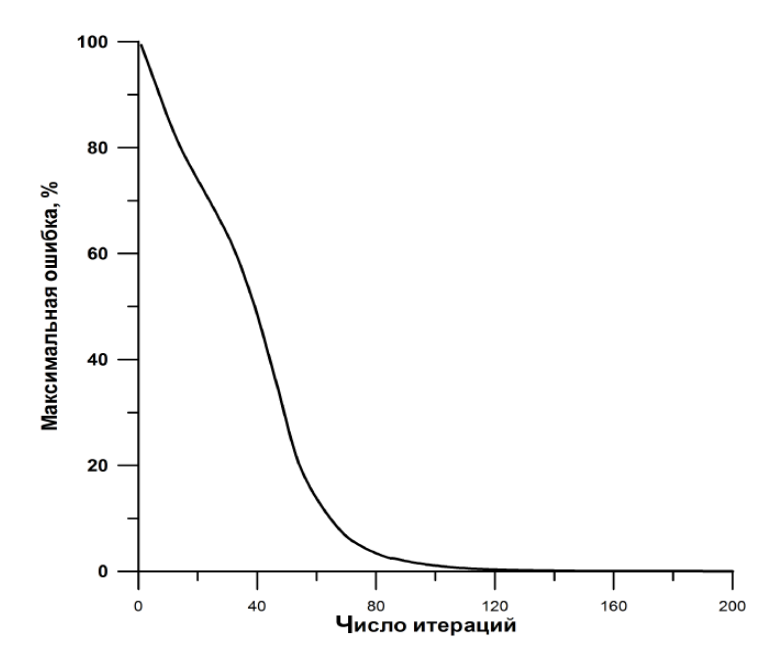


Рис.3. Сходимость решения эллиптической задачи.

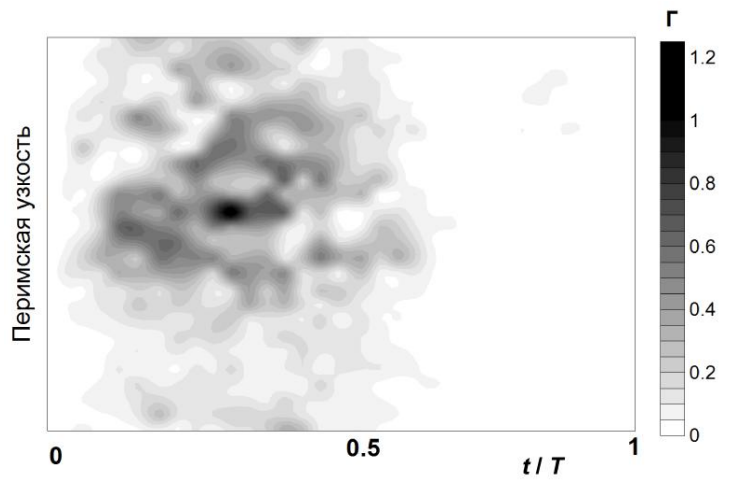


Рис.4. Значения критерия гидростатики в Перимской узкости за приливной период волны M_2 .

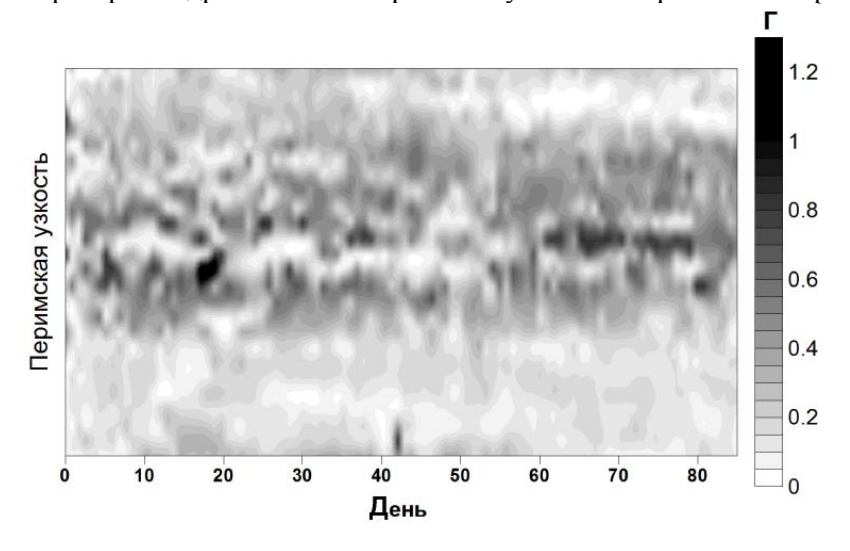


Рис.5. Значения критерия гидростатики в Перимской узкости в моменты максимальной энергии за зимний сезон.

На рис.6 представлен ход нормы максимальных отклонений для $\chi = (\mathbf{u}, \rho')$ в приливном цикле волны M_2 , отнесенном к середине зимнего сезона. Роль негидростатики оказывается весьма значительной, достигая 20 % фактических значений характеристики χ в моменты, близкие к T/2; T — период волны M_2 , причем норма отклонений горизонтальных скоростей и плотности ρ' имеет два максимума, а вертикальной скорости — один, приходящийся на момент смены баротропных течений. Максимальные значения нормы сдвинуты относительно моментов энергетических максимумов волны M_2 , выражая роль внутреннего прилива в баротропном цикле.

Влияние бароклинности в различии решений двух задач в области Перимской узкости отчетливо проявляется при рассмотрении эволюции поверхности раздела Промежуточных вод Аденского залива и более тяжелых глубинных вод Красного моря (рис.7). В негидростатическом случае поверхность раздела в приливном цикле имеет значительно больший экскурс; так, на момент максимума энергии T/4 амплитуда гидростатической внутренней волны составляет около $10\,$ м, а при учете динамической поправки к давлению ее амплитуда возрастает вдвое. Эволюция поверхности раздела в приливном цикле выражает взаимодействие вод граничных бассейнов: заглубление поверхности свидетельствует об интенсификации поверхностных течений и ослаблении проникновения глубинных вод Красного моря, поднятие поверхности определяет относительное усиление втока красноморских вод. Локальные отличия негидростатического описания эволюции поверхности раздела выявляют преимущества такого описания, представляя более сложную и динамичную картину баротропно-бароклинного взаимодействия.

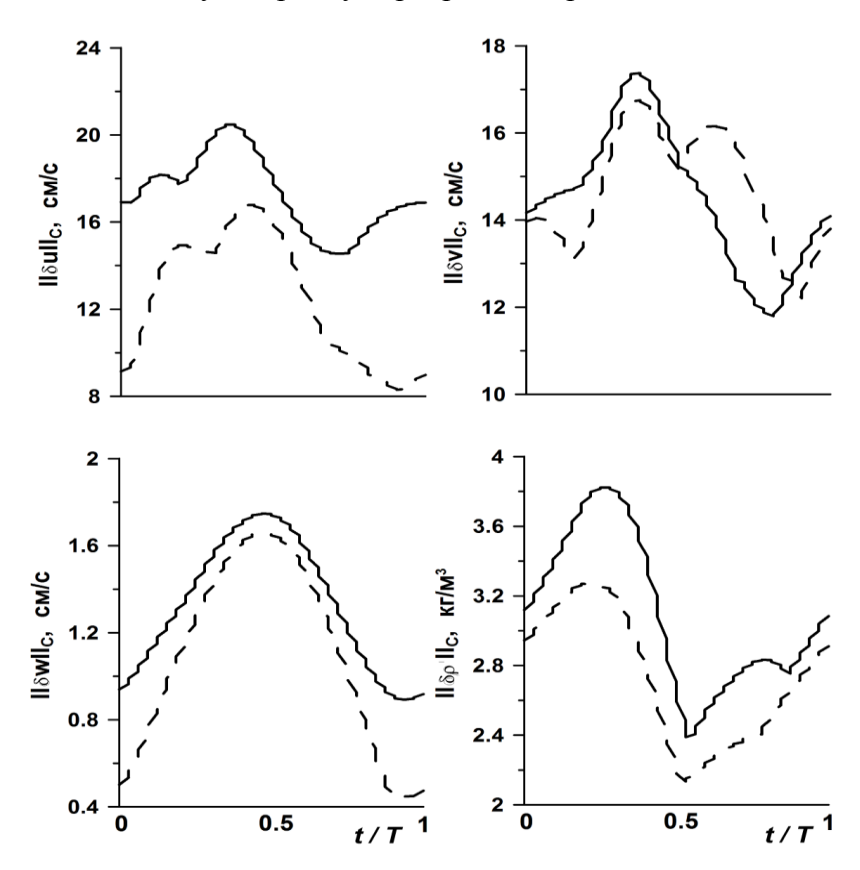


Рис.6. Ход нормы максимальных отклонений $\|\mu(\chi)\|_{C}$, $\mu = \{\mathbf{u}, \rho'\}$ в приливном цикле.

Сплошная кривая – сетка 33×103, штриховая – сетка 33×53.

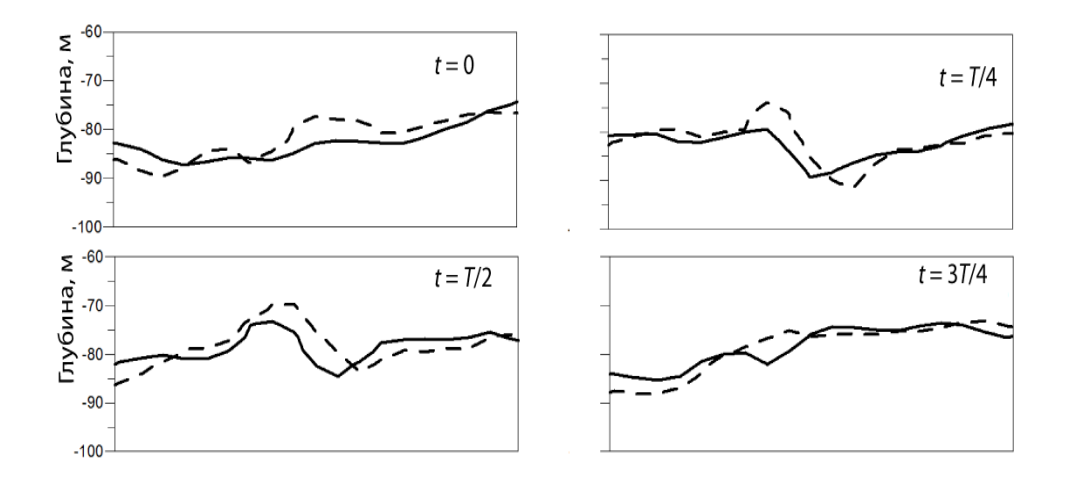


Рис.7. Положение поверхности раздела вод Красного моря и Аденского залива на четыре момента приливного цикла волны M_2 вдоль оси пролива.

Сплошная кривая – гидростатика, штриховая – негидростатика.

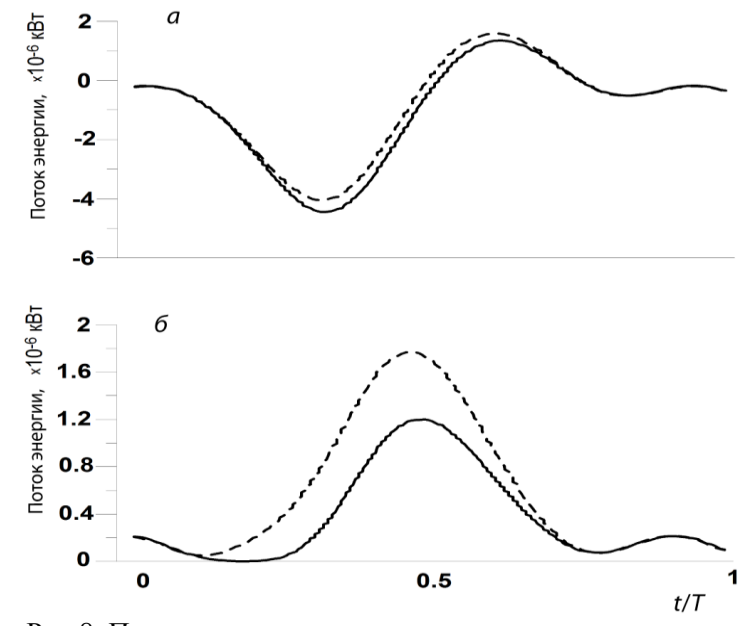


Рис. 8. Потоки энергии на открытых границах пролива.

a – южная, δ – северная границы; сплошная кривая – гидростатика; штриховая – негидростатика.

Отличие решений двух задач, обязанное граничным потокам энергии, представлено на рис. 8. На южной границе потоки энергии близки и составляют около $4\cdot 10^6$ кВт в момент максимального втока, сдвинутого на 2 ч от времени максимума баротропного втока; доминирующее влияние бароклинности сказывается и в появлении второго энергетического максимума в приливном цикле волны M_2 . На северной границе негидростатический поток энергии вчетверо сильнее и значительно отличается от гидростатического потока. Такая ситуация объясняется тем, что на северной границе негидростатика формирует подъем уровня, способствующий усилению вытока через северную границу; при этом тяжелые воды Красного моря несколько запираются на втоке, вынос поверхностных вод интенсифицируется, замедляя ход баротропного прилива и формируя один максимум в середине приливного цикла.

Допустимость гидростатического приближения для давления в жидкости основывается на малости отношения вертикального масштаба движения к горизонтальному масштабу: $\varepsilon = H/L << 1$. Допущение оправдывается с высокой точностью для движений, в основе которых лежат длинноволновые возмущения, при том что характерные масштабы имеют присущий им смысл. На горном рельефе дна смысл масштабов утрачивается, и поэтому отношение H/L выражает всего лишь тангенс уклона подводной горы. Признак допустимости гидростатического приближения, вытекающий из анализа уравнения движения по вертикали, дается критерием (1): $\Gamma = \varepsilon^2 U^2/N^2 H^2 << 1$. Если предположить, что роль негидростатических эффектов существенна, то значения Г должны быть гораздо больше. Такая ситуация и возникает в регионе подводной горы, когда є выражает уже не соотношение характерных масштабов, а уклон $\varepsilon = H/L = \operatorname{tg}\alpha$; при этом значения є возрастают на несколько порядков. Другим фактором роста Г является то, что само глобальное понятие характерной глубины на горном рельефе теряет смысл и должно быть заменено на локальную склоновую глубину $h_*(x,y)$. Пусть h_0 – глубина над вершиной горы, h — глубина у ее подошвы; тогда $h_0 \leq h_* \leq h$. Таким образом на горных склонах функциональное выражение критерия (1) трансформируется к виду

$$\gamma = \frac{U^2}{N^2 h_*^2} t g^2 \alpha.$$

Возросшие значения γ уже не могут служить оправданием пренебрежения вертикальным ускорением, лежащим в основе вывода (1).

В работе критерий гидростатики проверяется в условиях Баб-эль-Мандебского пролива, рельеф которого содержит пороговую зону на границе с Красным морем и подводную гору на границе с Аденским заливом. Показано, что действительно на рельефе пролива критерий гидростатики (1) резко нарушается. Определение отклонений от гидростатики при взаимодействии приливной волны M_2 с бароклинной динамикой пролива потребовало решения краевых задач в гидростатической и негидростатической постановках со всесторонней оценкой разности решений. Такие оценки в максимальной норме получены для основных гидрофизических характеристик: компонентов вектора скорости и отклонений плотности. Значения норм отклонений оказываются весьма значительными, достигая в отдельные моменты приливного цикла $15-20\,\%$ их наблюдаемых значений. Выполненные расчеты эволюции поверхности раздела вод граничных бассейнов в двух постановках, определяемые различием граничных потоков энергии, также достаточно существенны, чтобы обосновать необходимость учета негидростатики для детализации процесса бароклинно-баротропного взаимодействия локально и в отдельные моменты.

Литература

- 1. *Marshall J., Hill C., Perelman L., Adcroft A.* Hydrostatic, quasi-hydrostatic, and nonhydrostatic ocean modeling // J. Geophys. Res. 1997. V.102. C3. P.5733–5752.
- 2. *Marshall J., Jones H., Hill C.* Efficient ocean modeling using non-hydrostatic algorithms // J. of Marine Systems. 1998. V.18. P.115–134.
- 3. Androsov A., Rubino A., Romeiser R, and Sein D.V. Open-ocean convection in the Greenland Sea: preconditioning through a mesoscale chimney and detectability in SAR imagery studied with a hierarchy of nested numerical models // Meteorologische Zeitschrift. 2005. V.14, № 14. P.693–702.
- 4. *Mahadevan A., Oliger J., Street R.* A nonhydrostatic mesoscale ocean model. Part 1, 2 // J. Phys. Oceanogr. 1996. V.26. P.1868–1900.

- 5. Zhang Z., Fringer O.B., Ramp S.R. Three-dimensional, nonhydrostatic numerical simulation of nonlinear internal wave generation and propagation in the South China Sea // J. Geophys. Res. 2011. V.116. C05022. P.1–26.
- 6. *Davis A.M.*, *Xing J.*, *Berntsen J.* Non-hydrostatic and non-linear contributions to the internal wave energy flux in sill regions // Ocean Dynamics. 2009. V.59(6). P.881–897.
- 7. Britter R.E., Simpson J.E. Experiments on the dynamics of gravity current head // J. Fluid Mech. 1978. V.88(2). P.223–240.
- 8. *Britter R.E.*, *Linden P.F.* The motion of the front of a gravity current travelling down an incline // J. Fluid Mech. 1980. V.99(3). P.531–543.
- 9. *Zhu D.Z.*, *Lawrence G.A*. Non-hydrostatic effects in layered shallow water flows // J. Fluid Mech. 1998. V.355(25). P.1–16.
- 10. Shapiro G.I., Hill A.E. Dynamics of dense water cascades at the shelf edge // J. Phys. Oceanogr. 1997. V.27(1). P.2381–2394.
- 11. Андросов А.А., Вольцингер Н.Е. Проливы Мирового океана общий подход к моделированию. СПб.: Наука, 2005. 188 с.
- 12. *Андросов А.А., Вольцингер Н.Е.* Моделирование внутреннего прилива в Баб-эль-Мандебском проливе Красного моря // Изв. РАН. ФАО. 2008. Т.44, № 1. С.127–144.
- 13. *Андросов А.А.*, *Вольцингер Н.Е.*. Расчет энергии баротропно-бароклинного взаимодействия в Баб-эль-Мандебском проливе // Изв. РАН. ФАО. 2010. Т.46, № 2. С.235–245.

Статья поступила в редакцию 07.12.2012 г.

